

锰/钴-二氰胺-4-(1-咪唑基)苯胺三元配合物的合成与结构表征

郑凌玲 谭成康 童明良*

(中山大学化学与化学工程学院, 广州 510275)

摘要: 以二氰胺钠[Na(dca)]和4-(1-咪唑基)苯胺(L)为共配体分别与锰盐和钴盐反应合成了2种新的配合物:零维[Mn(L)₂(dca)₂(H₂O)₂]**(1)**和二维[Co(L)₂(dca)₂(dca)_{0.5}(ClO₄)_{0.5}·1.5H₂O·MeOH]**(2)**。通过元素分析、红外光谱和X射线单晶衍射对其进行了表征。配合物**1**属于三斜晶系, *P*̄*1*空间群。配合物**2**晶体属于正交晶系, *Cmcm*空间群。配合物**1**是1个中心对称的单核结构, 锰(II)离子与分别来自2个dca和2个L配体的4个氮原子以及2个水分子配位, 形成八面体配位几何,L和dca均为单齿配位; 配合物**2**是由混合桥dca和L组装成的二维配位聚合物网状结构, 相邻的二维网以面对面方式堆积, 沿c轴方向形成一维孔道, 里面填充着未配位的反离子和溶剂分子。

关键词: 4-(1-咪唑基)苯胺; 二氰胺; 锰(II); 钴(II)

中图分类号: O614.7+11; O614.81·2 文献标识码: A 文章编号: 1001-4861(2006)08-1426-05

Synthesis and Crystal Structures of Mn(II)/Co(II)-dicyanamide-4-(1H-imidazol-1-yl)aniline Ternary Complexes

ZHENG Ling-Ling TAN Cheng-Kang TONG Ming-Liang*

(School of Chemistry and Chemical Engineering, Sun Yat-Sen University, Guangzhou 510275)

Abstract: Reactions of sodium dicyanamide (Na(dca)) and 4-(1H-Imidazol-1-yl)aniline (L) with MnCl₂·4H₂O or CoCl₂·6H₂O generate two new complexes, 0D [Mn(L)₂(dca)₂(H₂O)₂]**(1)** and 2D coordination polymer of [Co(L)₂(dca)₂(dca)_{0.5}(ClO₄)_{0.5}·1.5H₂O·MeOH]**(2)**, which were characterized by elemental analysis and IR. X-ray crystal structural analyses show that **1** crystallizes in triclinic space group *P*̄*1*, **2** crystallizes in orthorhombic space group *Cmcm*. In complex **1**, both L and dca ligands coordinated to Mn(II) are in monodentate mode, while in **2**, both dca and L ligands act in μ_2 bridges to connect Co(II) ions. **2** is a 2D coordination layer with two types of cavities, adjacent layers stack each other in a face-to-face fashion to generate a 3D microporous supramolecular architecture with 1D channels along the c-axis, which are occupied by the counterions and solvates. CCDC: 609591, **1**; 609592, **2**.

Key words: 4-(1H-imidazol-1-yl)aniline; dicyanamide; manganese(II); cobalt(II)

0 引言

近年来, 利用晶体工程来设计、剪裁和组装具有一至三维高度有序框架结构的分子固体引起人们极大的兴趣, 并已成为合成化学和材料化学中最

活跃的研究领域之一^[1-4]。二氰胺阴离子(N(CN)₂⁻, 简称dca)是一种潜在的多齿配体, Madelung和Kern最早报道了dca桥连的配位聚合物^[5], Kohler等研究了dca与各种3d金属离子的配位能力^[6]。其后的系列研究表明中性 α -和 β -[M^{II}(dca)₂]_n以及阴离子

收稿日期: 2006-06-15。收修改稿日期: 2006-07-24。

国家自然科学基金资助项目(No.20525102, 20471069)。

*通讯联系人。E-mail:tongml@mail.sysu.edu.cn; Tel:020-84110966

第一作者: 郑凌玲, 女, 27岁, 博士研究生; 研究方向: 功能配合物。

型 $[M^{II}(dca)_3]_n$ -配位聚合物网显示出有趣的磁行为^[7-9]。最近,人们通过引入第二桥连配体 L 来构建 $[M^{II}(dca)_2L_2]_n$ 等新型金属有机骨架的化合物^[10]。本文报道我们通过引入 4-(1-咪唑基) 苯胺作为第二桥连配体构筑的一种新的含 $[Co^{II}(dca)L_2]_n$ -阴离子型金属有机骨架的化合物以及在相似反应条件下得到的不同结构的锰化合物,并对其进行了元素分析、红外光谱和 X 射线单晶衍射等表征。

1 实验部分

1.1 试剂和仪器

4-(1-咪唑基) 苯胺(化学纯) 和二氰胺钠(化学纯) 为 TCI 公司产品, 氯化锰(分析纯) 和氯化钴(分析纯) 为国内市售试剂。

Bruker Smart Apex CCD X 射线衍射仪(Bruker 公司), Bruker-EQUINOX 55 红外光谱仪 (Bruker 公司), Vario EL 元素分析仪(Elementar 公司)。

1.2 配合物的合成

1.2.1 配合物 $[Mn(L)_2(dca)_2(H_2O)]$ (1) 的合成

将 $MnCl_2 \cdot 4H_2O$ (0.099 g, 0.5 mmol) 的水溶液缓慢滴加到 L (0.159 g, 1.0 mmol) 和 dca (0.089 g, 1.0 mmol) 的甲醇和水的混合溶液(体积比 1:1)中, 电磁搅拌 1 h 后, 过滤, 将得到的澄清滤液在室温下放置蒸发, 5 d 后得到了黄色块状单晶。产率是 52%。配合物 1 的元素分析结果%(括号内为理论值); C, 48.55 (48.80); H, 3.81(4.10); N, 30.71(31.04)。

表 1 配合物 1 和 2 的晶体学数据
Table 1 Crystallographic data for complexes 1 and 2

Identification code	1	2
Empirical formula	$C_{22}H_{22}MnN_{12}O_2$	$C_{22}H_{25}Cl_{0.5}CoN_{10.5}O_{4.5}$
Formula weight	541.46	585.18
Temperature / K	293(2)	293(2)
Wavelength	0.710 73	0.710 73
Crystal system	Triclinic	Orthorhombic
Space group	$P\bar{I}$	$Cmcm$
a / nm	0.751 98(7)	1.679 7(5)
b / nm	0.901 73(9)	2.072 8(6)
c / nm	0.987 79(9)	1.562 6(5)
α / (°)	73.078(2)	90
β / (°)	87.788(2)	90
γ / (°)	71.974(2)	90
Volume / nm ³	0.6084(1)	5.440(3)
Z	1	8
Density (calculated) / (g·cm ⁻³)	1.478	1.429

续表 1

Absorption coefficient / mm ⁻¹	0.590	0.731
<i>F</i> (000)	279	2 416
Crystal size / mm	0.32 × 0.24 × 0.21	0.25 × 0.21 × 0.13
θ range for data collection / (°)	2.16 to 28.16	1.96 to 26.00
Limiting indices	$-8 < h < 9, -11 < k < 11, -12 < l < 12$	$-20 < h < 19, -23 < k < 22, -19 < l < 19$
Reflections collected	5 243	12 829
Independent reflections	2 722 ($R_{\text{int}}=0.012\ 9$)	2 728 ($R_{\text{int}}=0.063\ 6$)
Completeness / %	91.7	94.5
Max. and min. transmission	0.886 2 and 0.833 8	0.911 0 and 0.838 4
Refinement method	Full-matrix least-squares on F^2	Full-matrix least-squares on F^2
Data / restraints / parameters	2 722 / 5 / 185	2 728 / 53 / 220
Goodness-of-fit on F^2	1.083	1.048
Final <i>R</i> indices [$I > 2\sigma(I)$]	$R_1=0.034\ 5, wR_2=0.092\ 1$	$R_1=0.069\ 0, wR_2=0.176\ 4$
<i>R</i> indices (all data)	$R_1=0.036\ 9, wR_2=0.094\ 1$	$R_1=0.096\ 6, wR_2=0.196\ 9$
Largest diff. peak and hole / (e·nm ⁻³)	290 and -206	1 083 and -930

表 2 配合物 1 和 2 的部分键长和键角

Table 2 Bond lengths (nm) and angles (°) for 1 and 2

1					
Mn(1)-N(1)	0.221 4(2)	Mn(1)-O(1w)	0.219 8(1)	Mn(1)-N(4)	0.223 2(1)
O(1w)-Mn(1)-N(1a)	91.07(6)	O(1w)-Mn(1)-N(4a)	90.16(5)	O(1w)-Mn(1)-N(4)	89.84(5)
O(1w)-Mn(1)-N(1)	88.93(6)	N(1)-Mn(1)-N(4a)	90.52(6)	N(1)-Mn(1)-N(4)	89.48(6)
2					
Co(1)-N(1)	0.210 6(7)	Co(1)-N(5b)	0.225 6(7)	Co(1)-N(5c)	0.225 6(7)
Co(1)-N(3)	0.212 5(7)				
N(1a)-Co(1)-N(3)	90.7(3)	N(1a)-Co(1)-N(5b)	87.5(3)	N(3)-Co(1)-N(5b)	84.8(3)
N(1)-Co(1)-N(3)	89.3(3)	N(1)-Co(1)-N(5b)	92.5(3)	N(3)-Co(1)-N(5c)	95.2(3)

Symmetry codes for 1: a: $-x, -y, -z$; 2: a: $-x+1/2, -y+1/2, -z$; b: $-x+1/2, y-1/2, z$; c: $x, -y+1, -z$.

2 结果与讨论

2.1 配合物的红外光谱

用 KBr 压片，在 4 000~400 cm⁻¹ 范围内测定配合物 1 和 2 的 FTIR 光谱。结果显示，配合物 1 在 2 289, 2 221 和 2 153 cm⁻¹ 处的吸收峰可归属于 dca 的不对称和对称 C≡N 振动^[14]，而在配合物 2 中，dca 的不对称和对称 C≡N 振动则出现在 2 258, 2 183 cm⁻¹ 处。配合物 1 和 2 中 N-H 和 O-H 的振动分别出现在 3 318~3 571 cm⁻¹ 和 3 144~3 591 cm⁻¹ 区域。**2** 中 1 090, 1 064 cm⁻¹ 的吸收峰可指认为 ClO₄⁻的伸缩振动。

2.2 晶体结构

2.2.1 配合物 1 的晶体结构

如图 1 所示，配合物 1 是 1 个中心对称的单核结构，Mn(II) 离子以略有畸变的八面体方式分别与一对处于反位的单齿 L 配体的 2 个咪唑 N 原子，一对处于反位的单齿 dca 配体的 2 个 N 原子和一对处于反位的水分子配位。Mn-N_{dca} 为 0.221 46(15) nm，比文献报道的略短^[15]。L 配体的氨基没有参与配位，其咪唑环与苯环不共面，二面角为 14.0°。

有趣的是，配合物 1 中存在着丰富的氢键作用（表 3）。每个配合物分子中的一对反式配位水分子作为氢键给体分别与 4 个相邻配合物分子的 dca 的末端氨基氮原子和 L 的氨基氮原子形成 O(1w)-H(1wb)…N(3c) 和 O(1w)-H(1wa)…N(6b) 氢键，相应的氢键参数为 O…N=0.282 2(2) nm 和 0.285 0(2) nm，∠O-H…N=164(2)° 和 172(2)°。这些氢键作用将单核

表3 配合物1和2中的氢键参数

Table 3 Hydrogen bonds for 1 and 2

D-H···A	<i>d</i> (D-H) / nm	<i>d</i> (H···A) / nm	<i>d</i> (D···A) / nm	\angle (DHA) / (°)
1				
O(1w)-H(1wa)···N(6b)	0.085 4(9)	0.200(1)	0.285 0(2)	172(2)
O(1w)-H(1wb)···N(3c)	0.084 1(9)	0.200(1)	0.282 2(2)	164(2)
N(6)-H(6b)···N(1d)	0.091(1)	0.256(2)	0.325 2(2)	133(2)
2				
N(5)-H(5a)···O(4f)	0.092(2)	0.213(3)	0.304 8(12)	169(8)
N(5)-H(5a)···O(2h)	0.093(2)	0.235(3)	0.326 4(15)	170(8)
O(4)-H(4O)···N(8)	0.085 0(2)	0.199(2)	0.284(2)	178(19)
O(1w)-H(1w)···O(2w)	0.085 0(2)	0.200(3)	0.280(3)	155(1)
O(2w)-H(2wb)···O(2wi)	0.085	0.227	0.294(6)	135.9
O(2w)-H(2wa)···N(2)	0.085	0.209	0.294(3)	179.9
C(3)-H(3)···O(3)	0.093	0.234	0.3223(19)	158.3
C(4)-H(4)···N(6)	0.093	0.253	0.343 3(14)	163.4

Symmetry codes for **1**: b: $x, y-1, z+1$; c: $-x, -y, -z-1$; d: $x-1, y+1, z-1$; **2**: f: $-x, y, -z+1/2$; h: $x+1/2, y+1/2, z$; i: $-x+1, -y+1, -z$.

配合物分子拓展成1个二维氢键网络结构,如图2所示。而且,相邻氢键层进一步通过苯环与dca配体的中间氮原子间弱的C-H···N氢键($\text{C}\cdots\text{N}=0.347\ 0$ (2) nm, $\angle \text{C}-\text{H}\cdots\text{N}=147.2(2)^\circ$)以及配体L的氨基与dca配体的配位氮原子间弱的N-H···N氢键作用($\text{N}\cdots\text{N}=0.325\ 3(2)$ nm, $\angle \text{N}-\text{H}\cdots\text{N}=133(2)^\circ$)连接成三维的超分子体系。

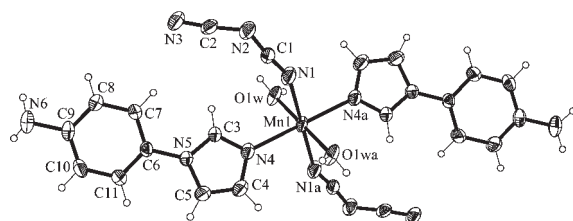


图1 配合物1的分子结构

Fig.1 Molecular structure of complex 1

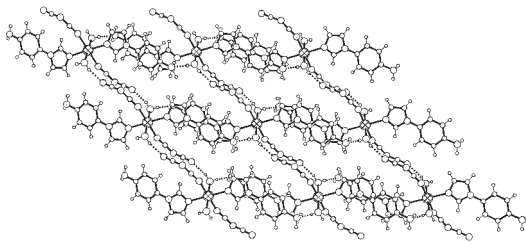


图2 配合物1的二维氢键连接的层状结构

Fig.2 2D hydrogen-bonded layer of 1

2.2.2 配合物2的晶体结构

配合物**2**由二维 $[\text{Co}(\text{L})_2(\text{dca})]^{n+}$ 阳离子配位聚合物网、 ClO_4^- 和dca⁻阴离子以及 CH_3OH 客体分子和客

体水分子组成。由图3可知,中心Co(II)离子分别与6个N原子配位形成八面体结构,其中2个来自dca配体,2个来自L配体的咪唑基,另外2个来自L配体的氨基。与**1**不同的是,**2**中配体L和dca均作为二连接桥与2个金属离子配位,从而形成1个二维具有一大一小2种孔穴的层状结构(图4),孔穴尺寸分别为0.839 nm × 1.343 nm和0.839 nm × 0.757 nm。通过dca桥连的2个Co(II)原子间的距离为0.839(2) nm,而通过L桥连的2个Co(II)原子间的距离为1.036(3) nm。Co-N_{咪唑}和Co-N_{氨基}键的键长分别为0.212 5 nm和0.225 6 nm。而Co-N_{dca}键的键长为0.210 6 nm,比文献中报道的稍短^[9],L配体的咪唑环与苯环间的二面角为33.9°,比配合物**1**中的大。

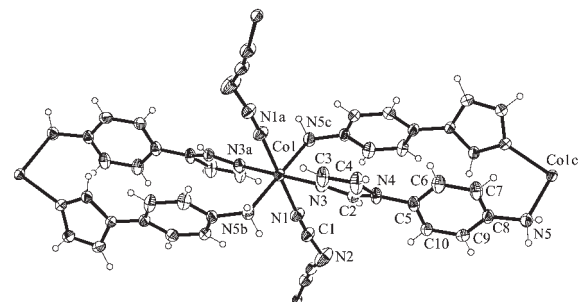


图3 配合物2中金属离子的配位结构

Fig.3 Coordination geometry of Co(II)atom in 2

值得注意的是,二维配位层之间通过面对面的堆积作用形成了三维微孔网络(图5),并在沿c轴方

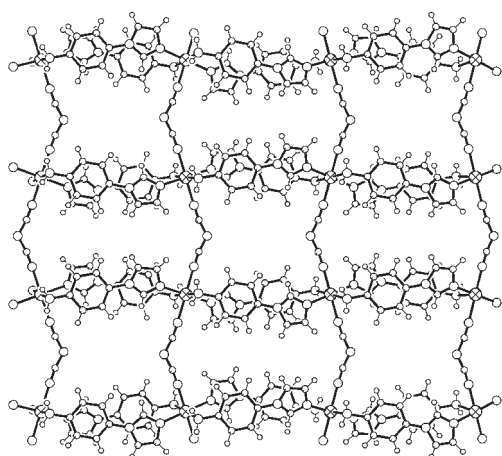


图 4 配合物 2 的二维层状结构

Fig.4 Coordination layer with two types of cavities in 2

向形成一维通道,根据 PLATON^[16]计算,孔洞的体积占有率为 34.9%。 ClO_4^- 和未配位的 dca^- 作为平衡离子与客体水分子和甲醇分子占据着这些 1D 通道,通过与主体骨架间的氢键作用稳定下来。甲醇分子与未配位 dca^- 的 1 个氨基氮形成 $\text{O}-\text{H}\cdots\text{N}$ 氢键($\text{O}\cdots\text{N}=0.284(2)$ nm, $\angle \text{O}-\text{H}\cdots\text{N}=178(19)^\circ$)。甲醇分子还作为氢键受体与配位氨基形成 $\text{N}-\text{H}\cdots\text{O}$ 氢键 ($\text{N}\cdots\text{O}=0.3048(12)$ nm, $\angle \text{N}-\text{H}\cdots\text{O}=169(8)^\circ$)。客体水分子之间通过相互间的氢键作用稳定在通道中($\text{O}\cdots\text{O}$ 距离

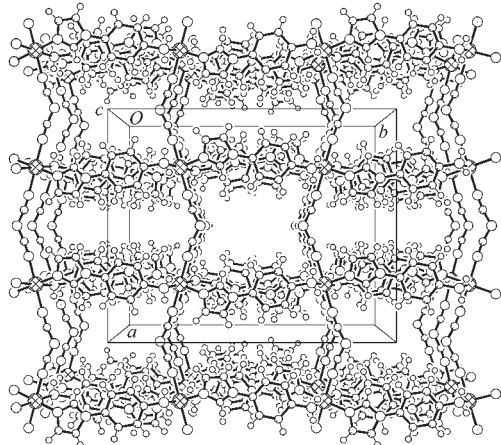


图 5 配合物 2 的具有一维通道的三维超分子建筑

Fig.5 3D supramolecular architecture with 1D channels in 2

分别为 0.280(3) nm 和 0.294(6) nm, 键角为 $155(1)^\circ$, 135.9°)。其中一种客体水分子还与氨基间形成 $\text{O}(2\text{w})-\text{H}(2\text{wa})\cdots\text{N}$ 氢键($\text{O}\cdots\text{N}=0.294(3)$ nm, $\angle \text{O}-\text{H}\cdots\text{N}=179.9^\circ$)。 ClO_4^- 作为受体与配位氨基间形成 $\text{N}-\text{H}\cdots\text{O}$ 氢键($\text{O}\cdots\text{N}=0.3264(15)$ nm, $\angle \text{N}-\text{H}\cdots\text{O}=170(8)^\circ$)。除此之外, 主客体间也存在弱的 $\text{C}-\text{H}\cdots\text{O}$ 和 $\text{C}-\text{H}\cdots\text{N}$ 氢键, 其键长分别为 0.3233(19) nm 和 0.3433(14) nm, 键角分别为 158.3° 和 163.4° 。

参考文献:

- [1] Holman K T, Pivar A M, Swift J A, et al. *Acc. Chem. Res.*, **2001**, *34*:107~118
- [2] Batten S R, Robson R. *Angew. Chem. Int. Ed.*, **1998**, *37*:1460~1494
- [3] Rao C N R, Natarajan S, Vaidhyanathan R. *Angew. Chem. Int. Ed.*, **2004**, *43*:1466~1496
- [4] Lin B, Kesanli W. *Coord. Chem. Rev.*, **2003**, *246*:305~326
- [5] Madelung W, Kern E. *Liebigs Ann. Chem.*, **1922**, *427*:1~3
- [6] Kohler H. *Z. Anorg. Allg. Chem.*, **1964**, *331*:237~248
- [7] Batten S R, Murray K S. *Coord. Chem. Rev.*, **2003**, *246*:103~130
- [8] Tong M L, Wu Y M, Tong Y X, et al. *Eur. J. Inorg. Chem.*, **2003**:2385~2388
- [9] Tong M L, Wu Y M, Chen X M, et al. *New J. Chem.*, **2003**, *27*:779~782
- [10] Gao E Q, Bai S Q, Wang Z M, et al. *Dalton Trans.*, **2003**:1759~1764
- [11] Software Packages SMART and SAINT, Siemens Analytical X-ray Instrument Inc., Madison, WI, **1996**.
- [12] SHELXTL, Version 5.1, Bruker AXS, Inc.: Madison, WI, **1997**.
- [13] Sheldrick G M. *SHELXL-97, Program for Crystal Structure Refinement*, Göttingen University, Germany, **1997**.
- [14] Kohler H, Kolbe A, Lux G. *Z. Anorg. Allg. Chem.*, **1977**, *428*:103~114
- [15] Shi Q, Cao R, Li X. *New J. Chem.*, **2002**, *26*:1397~1399
- [16] Spek A L. *PLATON. A Multipurpose Crystallographic Tool*, Utrecht University, Utrecht, The Netherlands, **2001**.